

УДК 539.3

## ЧИСЛЕННОЕ РЕШЕНИЕ ИНТЕГРАЛЬНЫХ УРАВНЕНИЙ НА ОДИНОЧНОЙ ПЛОСКОЙ ВОЛНЕ ДЛЯ НАЧАЛЬНО-КРАЕВЫХ ЗАДАЧ ТРЕХМЕРНОЙ ТЕОРИИ УПРУГОСТИ КОНЕЧНЫХ ТЕЛ

Л.А. Игумнов, А.А. Белов

*Нижний Новгород*

В работе представлен подход метода граничных интегральных уравнений (ГИУ), позволяющий решать динамические задачи не только в изотропном, но и в анизотропном случае. Гранично-элементная схема метода ГИУ строится на базе регулярного интегрального уравнения первого рода (интегральное уравнение на плоской волне). Впервые в научной литературе представлен результат численного расчета трехмерной динамической задачи на основе интегрального уравнения на плоской волне.

### Введение

Классические формулировки метода ГИУ с их дискретной реализацией и традиционные варианты метода граничных элементов (МГЭ) давно зарекомендовали себя как успешные подходы для решения трехмерных изотропных задач динамической теории упругости. Распространение методов ГИУ и МГЭ на анизотропные задачи и задачи, в которых модели материала не являются упругими, требует разработки специальных новых схем редукции. На современном этапе развития методов ГИУ и МГЭ для решения подобных динамических задач можно строить численные схемы на основе двух принципиально различающихся подходов. Это подход на основе двойного применения теоремы взаимности, восходящий к работе Д. Нардини и К.А. Бреббия [1], и подход, использующий структуру динамического фундаментального решения, восходящий к работе В.А. Бабешко [2].

### 1. Постановка задачи и метод решения

Уравнения движения упругодеформируемой среды и краевые условия имеют вид:

$$Lu = 0, \quad L = \sigma_{ij,j} - \partial_t^2, \quad (l^0 u)_i \equiv u_i|_{\partial\Omega}, \quad (l^1 u)_i \equiv f_{ij}(u)m_j|_{\partial\Omega} \equiv c_{ijkl}m_j u_{l,k},$$

где  $\sigma_{ij} = c_{ijkl}u_{k,l}$ ,  $\sigma$  – тензор напряжений;  $u$  – вектор смещений;  $c_{ijkl}$  – модули упругости ( $i, j, k, l = 1, 2, 3$ ).

Тензор Грина для линейной анизотропной теории упругости можно найти в [3]:

$$U(x, \omega) = -c\Delta \int_{S^2} \bar{u} dS(n) = -c\Delta \int_{S^2} G(nx, \omega, n) F^{(0)} dS(n),$$

$$G(\xi) = \sum_{\alpha=1}^3 \frac{e^{ik_{\alpha}|\xi|}}{2ik_{\alpha}\lambda_{\alpha}} A_{\alpha}(\operatorname{sgn} \xi) \otimes A_{\alpha}(\operatorname{sgn} \xi), \quad \xi = nx,$$

$$U(x, t) = (2\pi)^{-1} \int_{-\infty}^{+\infty} U(x, \omega) e^{-i\omega t} d\omega, \quad \lambda_{\alpha} = \frac{1}{2} A_{\alpha}(\nu_{\alpha}^2 M + K) A_{\alpha}, \quad \nu_{\alpha} = \omega / k_{\alpha},$$

где  $K = L_0(n)$ ,  $M = \rho I$ ,  $F^{(0)} = 1$ ,  $g_S = \bar{u}$ ,  $\rho$  – плотность,  $I$  – единичная матрица.

Для динамических задач справедливы следующие уравнения [4]:

$$\gamma \hat{A}_{\alpha} \otimes \hat{A}_{\alpha} \int_{\Gamma} \left[ l^1 e^{ik_{\alpha}n(x-y)} l^0 \psi(y) - e^{ik_{\alpha}n(x-y)} l^1 \psi(y) \right] d_y \Gamma = 0, \quad (1)$$

$$\gamma \hat{A}_{\alpha} \otimes \hat{A}_{\alpha} \int_{\Gamma} \left[ l^1 \delta(\tau) * l^0 \psi(y, t) - \delta(\tau) * l^1 \psi(y, t) \right] d_y \Gamma = 0, \quad (2)$$

$$\det A(k_{\alpha}) = 0, \quad A(k, \omega, n) \hat{A} = 0, \quad A^*(k_{\alpha} \operatorname{sgn} \xi) = \operatorname{tr} A^*(k_{\alpha}) \hat{A}_{\alpha}(\operatorname{sgn} \xi) \otimes \hat{A}_{\alpha}(\operatorname{sgn} \xi),$$

$$\tau = t - \frac{n(x-y)}{\nu_{\alpha}},$$

$$\pm \gamma \hat{n} \sum_{\alpha=1}^3 i g_S(k_{\alpha}) \int_{\Gamma} \left[ l^1 e^{ik_{\alpha}n(x-y)} l^0 \psi(y) - e^{ik_{\alpha}n(x-y)} l^1 \psi(y) \right] d_y \Gamma = 0, \quad (3)$$

$$\pm \gamma \hat{n} \sum_{\alpha=1}^3 i g_S(k_{\alpha}) \int_{\Gamma} \left[ l^1 \delta(\tau) * \psi(y, t) - \delta(\tau) * l^1 \psi(y, t) \right] d_y \Gamma = 0. \quad (4)$$

Таким образом, решение задачи методом ГИУ означает, что выполняются соотношения (1)–(4) для собственных чисел  $k_{\alpha}$  и собственных векторов  $\hat{A}_{\alpha}$ . Для теории упругости из уравнений (1) с учетом соотношения

$$\frac{iA^*(k_{\alpha} \operatorname{sgn} \xi)}{[\det A(k)] \Big|_{k=k_{\alpha}}} = \frac{1}{2ik_{\alpha}\lambda_{\alpha}} A_{\alpha}(\operatorname{sgn} \xi) \otimes A_{\alpha}(\operatorname{sgn} \xi)$$

выделяется интегральное уравнение, совпадающее (при  $x = 0$ ) с уравнением из [2, 5].

В работе [2] В.А. Бабешко предложил метод построения новых интегральных уравнений для решения краевых задач. В дальнейшем этот подход был применен А.О. Ватульяном [5]. Соответствующие уравнения для изотропного случая выглядят следующим образом [6]:

$$\int_S U(x, n) e_u^1(x) dS + \int_S T(x, n) e_u^0(x) dS = 0, \quad (5)$$

$$T = \mu i s \cdot \begin{vmatrix} Am_1 + Bn_1 & Am_2 + Bn_2 & Am_3 + Bn_3 \\ Dn_1 - Bn_3 & Dn_2 & Bn_1 + Dn_3 \\ Cn_1 & Bn_3 + Cn_2 & Cn_3 - Bn_2 \end{vmatrix},$$

$$U = e \cdot \begin{vmatrix} n_1 & n_2 & n_3 \\ n_3 & 0 & -n_1 \\ 0 & -n_3 & n_2 \end{vmatrix},$$

$$s = \text{diag}(-2k_1 e_1, k_2 e_2, k_2 e_2), e = \text{diag}(e_1, e_2, e_2), e_j = \exp[ik_j n x],$$

$$A = \frac{\nu}{1-2\nu}, B = mn, C = n \times i_1 m, D = n \times i_2 m.$$

На базе уравнений (1), (2) можно построить МГЭ-схему решения динамических краевых задач.

## 2. Численные исследования

Первый численный результат на основе уравнения (5) был получен в [6] для задачи об установившихся крутильных колебаниях изотропного упругого цилиндрического тела. Численные результаты для трехмерного случая упругой динамики до сих пор отсутствуют. Мы рассматриваем две задачи: о действии нестационарного давления на поверхности шара единичного радиуса и куба с единичной длиной ребра. Приведенные параметры Ламе и плотность материала:  $\lambda = 6$ ,  $\mu = 3$ ,  $\rho = 7$ .

В момент времени  $t = 0$  к границе шара прикладывается равномерно распределенное нормальное давление интенсивности  $p(t)$ :

$$p(t) = \begin{cases} t, & 0 \leq t \leq 1; \\ 1, & t \geq 1. \end{cases}$$

Поверхности шара и куба разбиваются на 216 биквадратичных элемента, перемещения ищутся для всех угловых точек элементов конструкций, с учетом симметрии можно выделить 27 элементов, находящихся в положительной области декартовой системы координат. Обе задачи для классических ядер решались с учетом симметрии, а для модифицированных ядер решения искали по всей сетке. Гранично-элементная сетка на сфере строилась путем проекции равномерной сетки куба на сферу.

Численная МГЭ-схема для классических ядер описана в [7]. Вариант численной МГЭ-схемы, использованной для решения уравнения (5), построен на ее основе, однако есть два отличия: численное интегрирование по Гауссу организовано на основе формулы с фиксированным порядком и адаптивный алгоритм не применялся; для решения итоговой системы линейных алгебраических уравнений использовался алгоритм регуляризации по Тихонову.

На рис. 1 изображен куб и отмечены точки, для которых представлены результаты расчетов. Сетка на кубе является регулярной.

На рис. 2–7 показаны результаты, полученные на основе классической МГЭ-схемы и на основе МГЭ для ГИУ из (5). Гладкие спектральные функции на рис. 3, 5–7 соответствуют классическому

варианту ядер, осциллирующие спектральные функции на рис. 2, 4 – ГИУ на плоских волнах.

На рис. 2 представлены поверхностные перемещения шара, причем нижний график получен по классической МГЭ-схеме. На рис. 3 представлен параметризованный по Тихонову модуль амплитудно-частотной функции перемещений. На рис. 4 представлено поведение перемещений в соответствующих точках куба,

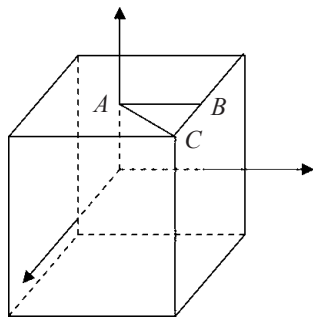


Рис. 1

причем нижний график соответствует классической МГЭ-схеме. На рис. 5–7 представлены соответственно действительная и мнимая части, а также модуль амплитудно-частотной функции перемещений точек куба.

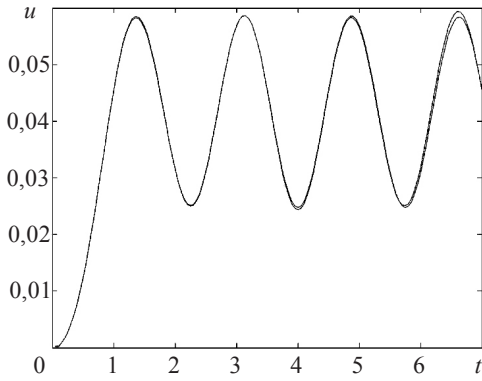


Рис. 2

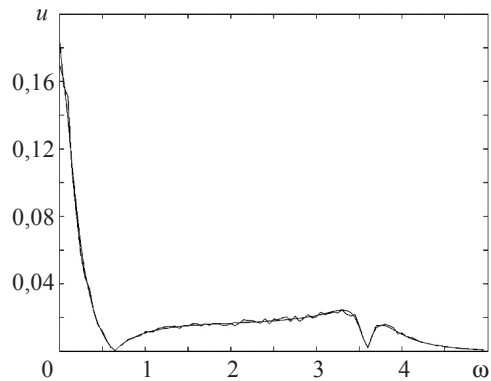


Рис. 3

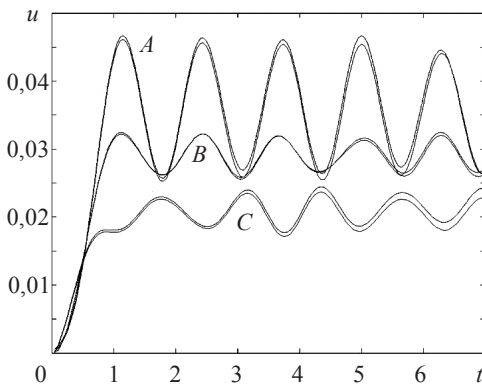


Рис. 4

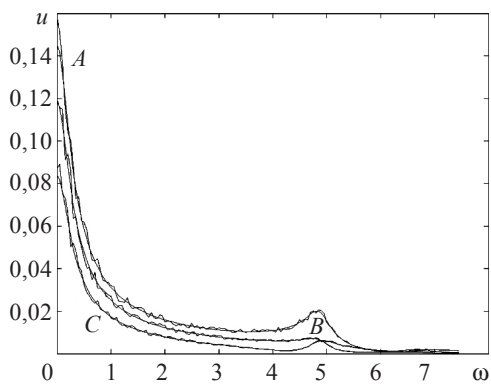


Рис. 5

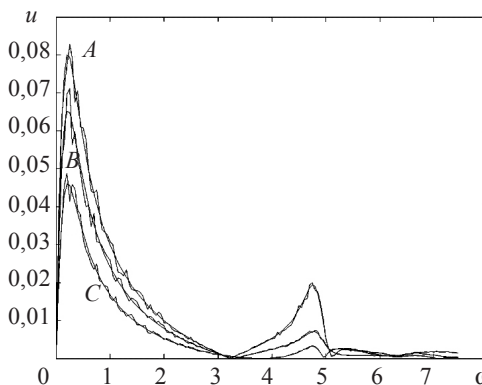


Рис. 6

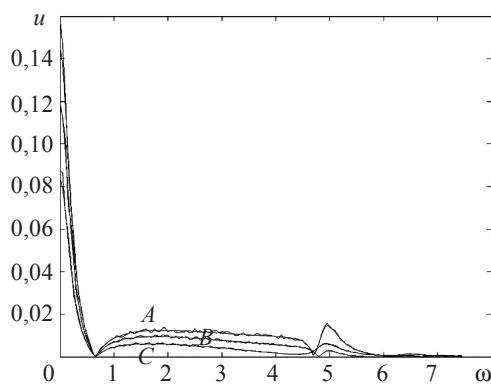


Рис. 7

Полученные результаты свидетельствуют о перспективности использования ГИУ на одиночной плоской волне для решения трехмерных динамических задач теории упругости. Достигнутая точность расчетов не уступает точности МГЭ-схем для классических ГИУ.

Работа выполнена при частичном финансировании Министерства образования и науки РФ (грант Президента РФ на поддержку ведущих научных школ НШ-6391.2006.8).

#### *Литература*

1. Бреббия, К. Методы граничных элементов / К. Бреббия, Ж. Теллес, Л. Вроубел – М.: Мир, 1987. – 524с.
2. Бабешко, В.А. Новый метод решения краевых задач механики сплошной среды и математической физики для неклассических областей / В.А. Бабешко // ДАН СССР. – 1985. – Т. 284, № 1. – С. 73–76.
3. Norris, A.N. Dynamic Green's functions in anisotropic piezoelectric, thermoelastic and poroelastic solids / A.N. Norris // Proc. R. Soc. Lond. A. – 1994. – № 447. – P. 175–188.
4. Игумнов, Л.А. Граничные интегральные уравнения трехмерных задач на плоских волнах / Л.А. Игумнов // Докл. РАН. – 2006. – Т. 409, №5. – С. 1–3.
5. Ватульян, А.О. О граничных интегральных уравнениях I-го рода в динамических задачах анизотропной теории упругости / А.О. Ватульян // Докл. РАН. – 1993. – Т. 333, №3. – С. 312–314.
6. Ватульян, А.О. Новый вариант граничных интегральных уравнений и их применение к динамическим пространственным задачам теории упругости / А.О. Ватульян, В.М. Шамшин // ПММ. – 1998. – Т. 62, вып.3. – С. 492–496.
7. Гранично-элементная методика решения трехмерных нестационарных динамических задач теории упругости и вязкоупругости / Л.А.Игумнов [и др.] // Проблемы прочности и пластичности: Межвуз.сб. / Н. Новгород: Изд-во ННГУ. – 2005. – Вып. 67. – С. 91–101.

[13.09.2006]

### **NUMERICAL SOLUTION OF NONSTATIONARY PROBLEMS OF THREE-DIMENSIONAL THEORY OF ELASTICITY USING METHOD OF INTEGRAL EQUATIONS ON A SINGLE PLANE WAVE**

**L.A. Igumnov, A.A. Belov**

An approach of the boundary integral equations method (BIEM) which enables to solve dynamic problems not only in an isotropic case but also in an anisotropic one is presented. A boundary-element scheme of BIEM is based on a regular integral equation of the first kind (an integral equation on a plane wave). The result of the numerical computation of the 3-dimensional dynamic problem based on an integral equation on a plane wave is shown for the first time in scientific and technical literature.